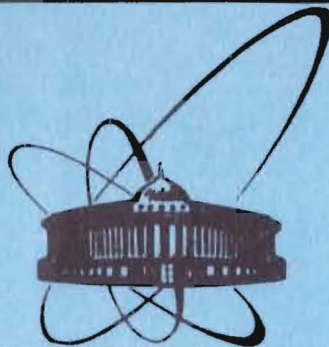


85-585



ОБЪЕДИНЕННЫЙ  
ИНСТИТУТ  
ЯДЕРНЫХ  
ИССЛЕДОВАНИЙ  
ДУБНА

13-85-585

Ю.А.Будагов, В.Г.Зинов, М.Семан\*, А.А.Семенов,  
Б.Ситар, Й.Шпалек

МОДУЛЬ КВАНТОВАНИЯ СИГНАЛОВ  
НА ОСНОВЕ  
БЫСТРОДЕЙСТВУЮЩЕГО ПАРАЛЛЕЛЬНОГО АЦП

Направлено в журнал "Приборы и техника эксперимента"

\*

ИЭФ САН, ЧССР

1985

Необходимость в разработке и создании описываемого в данной статье модуля квантования сигналов на основе быстродействующего параллельного АЦП обусловлена созданием в ЛЯП ОИЯИ следующих новых детекторов:

1. Ионизационно-координатного спектрометра (ИКС) на основе многослойной дрейфовой камеры<sup>1,4/</sup>. Приборы этого класса кроме трехмерной реконструкции треков позволяют решать весьма актуальную в современных экспериментах по физике высоких энергий проблему идентификации вторичных заряженных частиц.

2. Спектрометрической установки для измерения координат высокоэнергетических электромагнитных ливней с помощью ливневого гадоскопического детектора на основе свинцового стекла (ЛГД) и широкозазорных дрейфовых камер (ШДК).

Существенное улучшение точности измерения координат высокоэнергетических электромагнитных ливней достигается применением дополнительного активного конвертора и широкозазорных дрейфовых камер<sup>2/</sup> перед ливневым гадоскопическим детектором<sup>3/</sup>.

Общим для этих двух направлений является использование дрейфовых камер с большой ( $> 10$  см) длиной дрейфа. Это и требует создания принципиально новой регистрирующей электроники<sup>4,5,6,7/</sup>. Так, при ионизационных измерениях для идентификации заряженных частиц требуется измерить заряд каждого из нескольких ( $\approx 10$ ) импульсов ( $t_d \sim 80 \div 200$  нс) при расстоянии между ними  $\geq 100 \div 200$  нс. При определении координат оси электромагнитного ливня необходимо измерить распределение заряда в ливне и определить временное положение максимума заряда. Прямое решение этой задачи - квантование сигнала от ливня ( $t_d \sim 300 \div 800$  нс) с существенно меньшим (5-6 раз), чем длительность сигнала, периодом выборок.

Модуль квантования сигнала, разработанный нами на основе шестиразрядного параллельного АЦП, обеспечивает квантование сигнала с периодом выборок 64 нс. Количество выборок, запоминаемых во встроенной буферной памяти - 256, что дает возможность использовать модуль и в других физических приложениях, связанных с анализом быстрых неperiодических сигналов.

### I. Принцип работы модуля квантования

Модуль выполнен на основе аналого-цифрового преобразователя параллельного типа ПОЧПВ<sup>1/9/</sup>. Входной сигнал  $U_{bx}(t)$  предварительно преобразуется в соответствии со следующим соотношением:

$$\Delta Q(t) = K \int [U_{bx}(t) - U_{bx}(t-64\text{ нс})] dt \sim Q(t) - Q(t-64\text{ нс}), \quad (I)$$

т.е. напряжение  $\Delta Q(t)$  пропорционально заряду, поступившему на вход модуля за интервал  $|t| - 64$  нс,  $t|$ . Преобразование (I) позволяет избежать погрешностей при измерении зарядов от импульсов, длительность которых меньше или сравнима с периодом выборок. После усиления сигнал  $\Delta Q(t)$  квантуется АЦП с периодом выборок 64 нс. Коды выборок с выхода АЦП записываются в буферную память. Эта память организована в виде стека типа *LIFO* глубиной 256 шестиразрядных слов. Запись в нее происходит каждые 64 нс независимо от того, есть ли сигнал на входе. Таким образом, в любой момент времени в буферной памяти хранится информация о входном сигнале за последние 16 мкс. Процесс квантования сигнала заканчивается по внешнему сигналу СТОП, и модуль переходит в режим передачи информации в ЭВМ. При этом в буферной памяти модуля (см.рис. I) хранится, по существу, гистограмма распределения заряда, поступившего на вход преобразователя за 16 мкс до прихода сигнала СТОП. Номер ячейки (8 разрядов) определяет 64-нс интервал, а содержимое (6 разрядов) – заряд, поступивший на вход модуля в этом интервале.

Подчеркнем, что такой подход к измерению зарядов импульсов, имеющих большой разброс по длительности (80–800 нс) и следующих друг за другом на расстоянии 100–200 нс, имеет определенные преимущества по сравнению с известными типами стробируемых интеграторов, применяемых в старт–стопных преобразователях "заряд–кол".

I. Более эффективно используется динамический диапазон АЦП при регистрации импульсов с различной длительностью, сохраняя неизменной относительную точность измерения сигналов.

2. Измеряется не только заряд, поступивший на вход модуля, но и его распределение во времени.

3. Нет необходимости введения кабельных линий задержки в информационные каналы для выравнивания моментов прихода сигналов с камеры и триггера установки (строба преобразователя).

4. Время выработки триггера может быть значительным (16 мкс), что важно, например, при регистрации информации с ИКСа, где поток информации достигает нескольких тысяч байт, и организация "жесткого" триггера имеет особое значение.

## II. Техническое описание

Модуль квантования выполнен в стандарте КАМАК в блоке ІМ и содержит (см. рис. 2) два информационных канала, стоп-канал с временным интерполитором на 2 нс, схему управления и схему сопряжения с магистралью КАМАК. Каждый информационный канал состоит из интегратора с укорочением сигнала, усилителя, АЦП, буферной памяти.

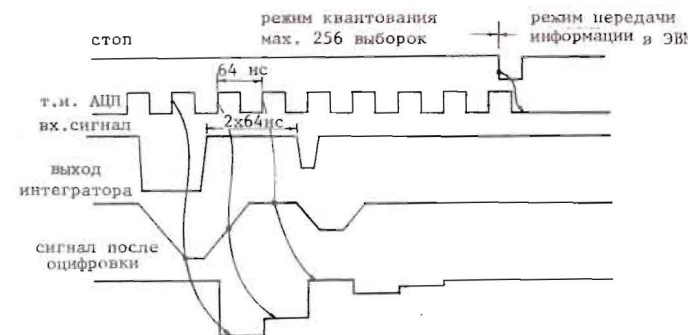


Рис. 1. Принцип работы модуля квантования сигнала

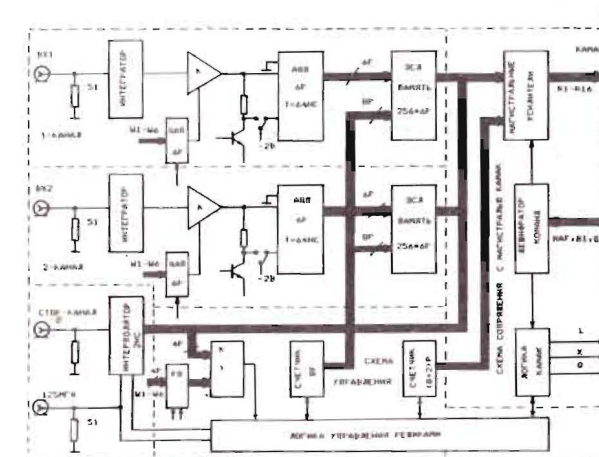


Рис. 2. Блок-схема модуля квантования сигналов на основе быстродействующего параллельного АЦП.

## I. Интегратор с укорочением сигнала

Данная схема (рис. 3) выполнена на усилительном каскаде Т1, в коллекторную цепь которого включен интегрирующий конденсатор. Получение разностного сигнала  $U_{\text{вх}}(t) - U_{\text{вх}}(t-64 \text{ нс})$  (см. соотношение (I)) достигается за счет включения в эмиттерную цепь формирующей линии задержки на 32 нс. Для компенсации разрядного тока интегрирующего конденсатора через сопротивления в коллекторной цепи Т1 введена регулировка коэффициента отражения сигнала. Заметим, что из-за конечного затухания сигнала в линии задержки данная схема не обеспечивает выполнение соотношения (I) при постоянной интегрирования  $\geq 2 \text{ мкс}$ .

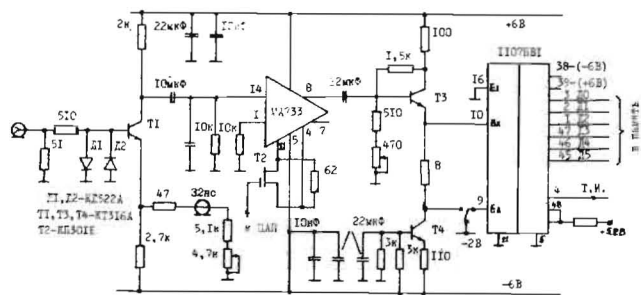


Рис. 3. Принципиальная схема аналоговой части модуля квантования сигналов на основе быстродействующего параллельного АЦП.

## 2. Усилитель

Преобразованный входной сигнал  $\Delta Q(t)$  поступает на вход усилителя, выполненного на микросхеме MA733. Данный усилитель необходим для согласования уровня сигнала с входным динамическим диапазоном АЦП II07ПВ1. Для подстройки коэффициента преобразования модуля квантования от ЭВМ в пределах 30% предусмотрена регулировка коэффициента усиления усилителя. Она выполняется изменением глубины местной обратной связи в первом каскаде усилителя MA733. Это достигается изменением напряжения на затворе полевого транзистора КПЗО1Б с помощью шестиразрядного цифроаналогового преобразователя. Экспериментально снятая зависимость коэффициента преобразователя АЦП от значения кода на входе ЦАП показана на рис. 4.

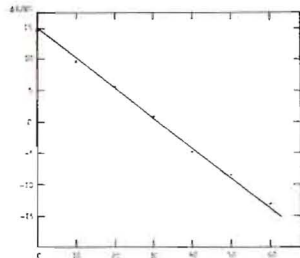


Рис. 4. Зависимость относительного изменения коэффициента преобразования модуля квантования от значения кода на входе ЦАП.

## 3. Аналого-цифровой преобразователь

Преобразование мгновенного значения заряда  $\Delta Q(t)$  в цифровой код осуществляется с помощью быстродействующего параллельного шестиразрядного АЦП типа II07ПВ1. Для расширения динамического диапазона

кроме линейного режима предусмотрен режим с динамическим напряжением смещения. Данный режим подробно рассмотрен в работе<sup>6/</sup>. Входной сигнал  $\Delta Q(t)$  в этом случае поступает на линейный вход и через сопротивление  $R = 8 \Omega$  (см. рис. 3) – на внутренний резистивный делитель, задающий опорные напряжения для компараторов АЦП. С учетом режимного тока  $I_o$  транзистора T4 передаточная характеристика Н оказывается следующей:

$$H = \frac{\Delta Q(t)}{\frac{R_d}{R_d+R} \cdot \Delta Q(t) + \frac{R_d \cdot R}{R_d+R} \cdot I_o},$$

где  $R_d$  – суммарное сопротивление резистивного делителя АЦП. Для выбранных нами значений

$$\frac{R_d}{R_d+R} = 0,9 \quad \text{и} \quad \frac{R_d \cdot R}{R_d+R} \cdot I_o = 0,16$$

расширение динамического диапазона равно<sup>6/</sup>:

$$R = \frac{1}{1 - \frac{R_d}{R_d+R}} = 10.$$

Заметим, что дальнейшее расширение диапазона ограничено конечным разрешением самого АЦП (чувствительностью компараторов).

Экспериментально снятые зависимости коэффициента преобразования АЦП для линейного и нелинейного режимов преобразования приведены на рис. 5. На рис. 6 показана также экспериментальная зависимость разрешения модуля квантования от величины входного сигнала в линейном режиме при измерении зарядов от импульсов с длительностью 64 нс и 256 нс.

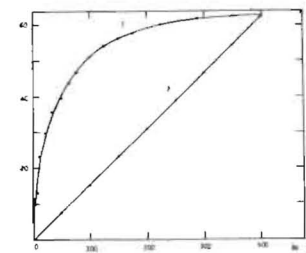


Рис. 5. Передаточная характеристика АЦП, 1 – линейный режим, 2 – нелинейный режим преобразования.

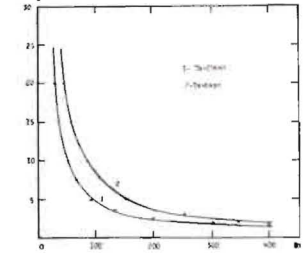


Рис. 6. Зависимость разрешения модуля квантования от величины входного сигнала.

### III. Логика управления и передачи информации в ЭВМ

Модуль квантования работает в двух режимах:

- режиме квантования,
- режиме передачи информации в ЭВМ.

Установка режима квантования происходит в следующих случаях:

а) генерация сигналов С или  $Z$ ,

б) окончание передачи информации в ЭВМ.

Установка режима передачи информации в ЭВМ осуществляется по внешнему сигналу СТОП. Момент прихода этого сигнала измеряется с помощью временного интерполятора<sup>/7/</sup> с точностью 2 нс. Данная точность обеспечивает необходимую пространственную привязку при восстановлении треков частиц в ЦДК.

После прихода сигнала СТОП последовательно по каналам считывается содержимое ячеек памяти. Это значение с помощью цифрового компаратора сравнивается с заданным от ЭВМ пороговым значением сигнала для данного канала. В случае превышения порога генерируется сигнал  $L$  и содержимое ячейки вместе с ее номером и номером канала передается в ЭВМ. Обмен ведется в  $ULS$  режиме. Пределы регулировки порога 0-16. Период, с которым происходит поиск информации в памяти - 128 нс. Нумерация ячеек памяти ведется от ячейки, номер которой был установлен на адресном счетчике в момент прихода сигнала СТОП.

### IV. Основные технические характеристики модуля квантования

1. Количество информационных каналов	- 2
2. Разрядность АЦП	- 6 бит
3. Период квантования	- 64 нс
4. Количество запоминаемых выборок	- 256
5. Входной сигнал	- 0-400 мВ
6. Входное сопротивление	- 51 Ом
7. Диапазон регулировки коэффициента преобразования	- 30%
8. Точность измерения временного положения сигнала СТОП	- 2 нс
9. Выходное слово - 16 разрядов:	
а) для информационных каналов:	
1-6 биты - величина заряда,	
7-14 биты - номер 64-нс интервала;	
б) для СТОП-канала:	
1-14 биты - момент прихода сигнала СТОП;	
в) 15, 16 биты задают номера каналов:	
15 = 0, 16 = 0 - первый канал,	

15 = I, 16 = 0 - второй канал,

15 = I, 16 = I - СТОП-канал.

10. Обмен информацией с ЭВМ - в режиме  $ULS$  по команде  $NA(O)F(o)$ .

11. Генератор тактовой частоты 125 МГц - внешний.

12. Питание: +6 В - 0,4 А,  
-6 В - 3,0 А.

### У. Заключение

Данный модуль был использован в экспериментах по высокоточному определению координат оси высокозергетичного электромагнитного ливня с помощью широкозазорной дрейфовой камеры. Исследования проводились на 18 канале ускорителя ИФВЭ (Серпухов). На рис. 7 представлены типичные распределения заряда в плоскости, перпендикулярной оси ливня, полученные с помощью модуля квантования сигналов. На рис. 8 приведено пространственное разрешение, полученное различными методами обработки сигналов от ливней, зарегистрированных модулем квантования: методом вычисления центра тяжести заряда, выделенного в ЦДК (АЦП - центр тяжести), методом нахождения максимального значения заряда (АЦП - макс.), методом взвешивания заряда в области максимума (АЦП - взв. макс.); и разрешение, полученное с использованием время-цифрового преобразователя (ВЦП)<sup>/3/</sup>.

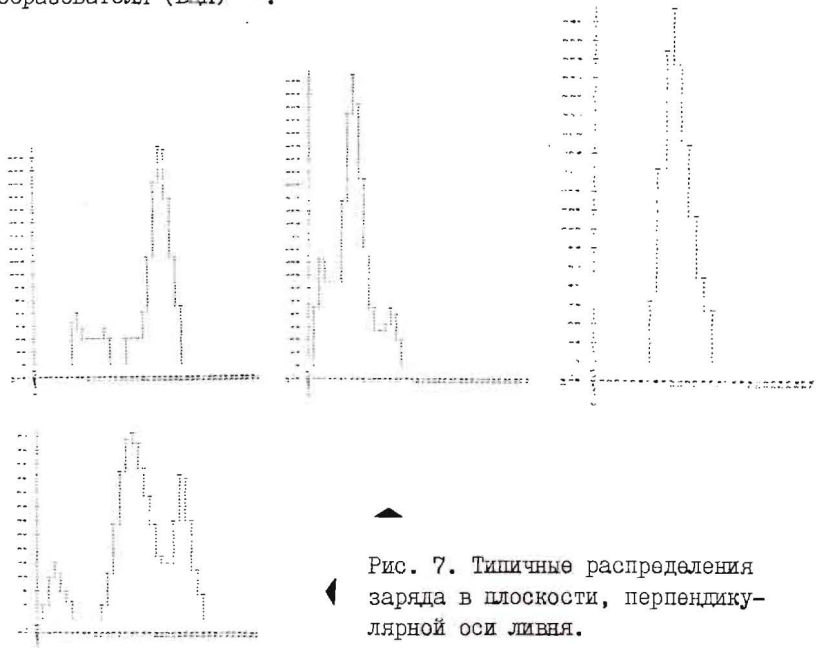


Рис. 7. Типичные распределения заряда в плоскости, перпендикулярной оси ливня.

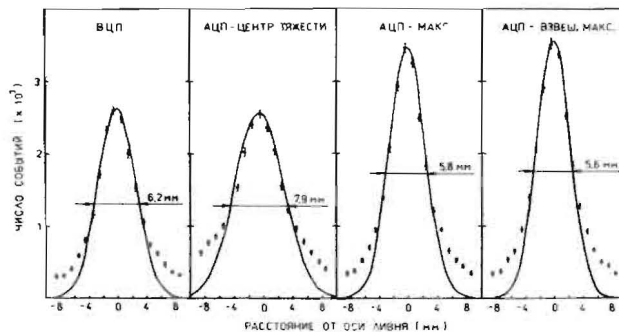


Рис. 8. Распределение координат осей электромагнитных линий, измеренное с помощью МЦП.

Авторы благодарят В.П. Джелепова и В.Б. Флягина за поддержку работы, критические замечания и полезные обсуждения.

#### Литература

1. Будагов Ю.А. и др. УКЛФ 80-30, Братислава, 1980.
2. Будагов Ю.А. и др. ОИЯИ, ИЗ-84-394, Дубна, 1984.
3. Будагов Ю.А. и др. ОИЯИ, ИЗ-84-757, Дубна, 1984.
4. Мерзон Г.И., Ситар Б., Будагов Ю.А. ЗЧАЯ, 1983, т. I4, вып. 3, с. 648.
5. Bernstein D. SIAC-PUB-2632, 1980.
6. Hallgren B., Werwey H. ІВІЕ, NS-27, 1980, №. 1.
7. Будагов Ю.А. и др. ОИЯИ, ИЗ-84-395, Дубна, 1984.
8. Lehvius I. Nucl. Instr. and Meth., 1983, vol. 217, p. 43.
9. Аналоговые и цифровые интегральные микросхемы. Под ред. С.В. Якубовского. М., "Радио и связь", 1984, с. 362.
10. Батраков А.М., Козак В.Р. ИД СО АН СССР, 85-10, Новосибирск, 1985.
- II. Мелешко Е.А., Олейник С.В. ИАЭ им. Курчатова, 4046/I4, М., 1984.

Рукопись поступила в издательский отдел  
31 июля 1985 года.

Будагов Ю.А. и др.

13-85-585

Модуль квантования сигналов  
на основе быстродействующего параллельного АЦП

Описывается модуль квантования сигналов на основе шестирядного параллельного АЦП, предназначенный для измерения ионизационных потерь с помощью широкозазорных дрейфовых камер. Период квантования 64 нс. Количество запоминаемых выборок 256. Введение схемы предварительного преобразования сигнала уменьшает фазовые ошибки в тех случаях, когда длительность импульсов меньше или сравнима с периодом квантования. Модуль выполнен в стандарте КАМАК в блоке IM, содержит два информационных канала.

Работа выполнена в Лаборатории ядерных проблем ОИЯИ.

Препринт Объединенного института ядерных исследований. Дубна 1985

Перевод О.С. Виноградовой

Budagov Yu.A. et al.

13-85-585

Multi-Hit Charge Digitizer with Flash-ADC

A multi-hit charge digitizer with 6-bit flash-ADC is described. It measures the time and charge of the signal from wide-gap drift chambers. Conversion rate is 64 ns. A fast MECL memory (256x6 bit) in each information channel allows registration up to 256 signals. The circuit for clipping and integration of signals corrects errors when duration of the input signals is less or equal than conversion rate.

The investigation has been performed at the Laboratory of Nuclear Problems, JINR.